



TS921-1, Fig. B4Wde: 16 equidistante pasos  $W-C_e; W-M_e; W-Y_e; W-N$ ;  $rgb/cmy0 \rightarrow rgb_{de} setrgbcolor$

+-.: Q	C O C O	lmno C O C O	pqrs O O O O	uvw O O O O
xyz; O	O O C O	hijk O O C O	lmno O O C O	pqrs O O C O
tuvw O	O O C O	defg O O C O	hijk O O C O	lmno O O C O
pqrs O	O O C O	!abc O O C O	+-.: O O C O	hijk O O C O
lmno O	O O C O	+-.: O O C O	xyz; O O C O	+-.: O O C O
hijk C	O O C O	tuvw O O C O	tuvw O O C O	tabe; O O C O
defg O	O O C O	defg O O C O	defg O O C O	xyz; O O C O
!abc O	O O C O	!abc O O C O	6 N C_e M_e Y_e Z	defg O O C O
10 N C_e M_e Y_e Z				4 N C_e M_e Y_e Z

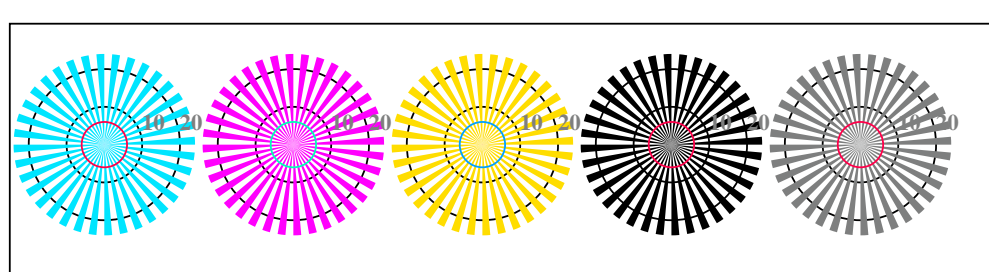
TS921-3, Fig. B5Wde: codigo y Landolt anillosN;  $C_e; M_e; Y_e; Z; PS$  operator  $rgb \rightarrow rgb_{de} setrgbcolor$

0-1	anillos de Landolt $W-C_e$	Code	0-1	anillos de Landolt $W-M_e$	Code
7-8			7-8		
E-F			E-F		
2-0			2-0		
8-6			8-6		
F-D			F-D		

TS921-5, Fig. B6Wde: anillos de Landolt  $W-C_e; W-M_e$ ;  $PS$  operator  $rgb \rightarrow rgb_{de} setrgbcolor$

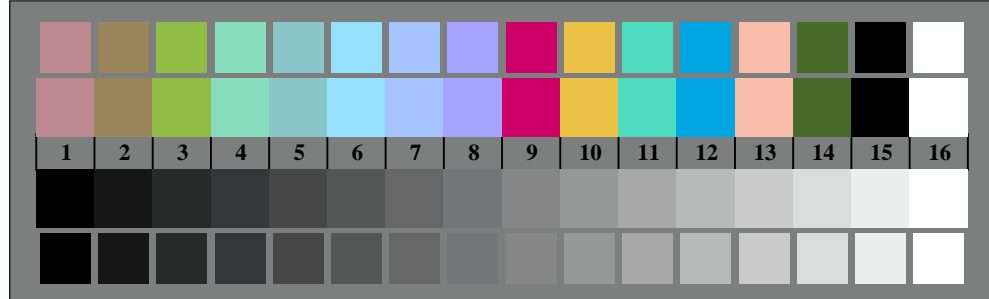
0-1	anillos de Landolt $W-Y_e$	Code	0-1	anillos de Landolt $W-N$	Code
7-8			7-8		
E-F			E-F		
2-0			2-0		
8-6			8-6		
F-D			F-D		

TS921-7, Fig. B7Wde: anillos de Landolt  $W-Y_e; W-N$ ;  $PS$  operator  $rgb \rightarrow rgb_{de} setrgbcolor$



rejillas radial  $W-C_e$  rejillas radial  $W-M_e$  rejillas radial  $W-Y_e$  rejillas radial  $W-N$  rejillas radial  $W-Z$

TS920-5, Fig. B2Wde: rejillas radial  $W-C_e; W-M_e; W-Y_e; W-N$ ;  $PS$  operator  $rgb \rightarrow rgb_{de} setrgbcolor$



TS920-7, Fig. B3Wde: CIE 14 colores del test y 2 + 16 pasos de gris (sf);  $rgb/cmy0 \rightarrow rgb_{de} setrgbcolor$